электронный журнал

МОЛОДЕЖНЫЙ НАУЧНО-ТЕХНИЧЕСКИЙ ВЕСТНИК

Издатель ФГБОУ ВПО "МГТУ им. Н.Э. Баумана". Эл No. ФС77-51038.

УДК 551.501

Оценка энергетических характеристик ветрового лидара в ультрафиолетовой области спектра

Филимонов П.А., студент Россия, 105005, г. Москва, МГТУ им. Н.Э. Баумана, кафедра «Лазерные и оптико-электронные системы»

Научный руководитель: Белов М.Л., д.т.н. профессор кафедра «Лазерные и оптико-электронные системы» belov@bmstu.ru

Введение

Среди всех известных методов мониторинга атмосферы несомненным преимуществом обладают методы активного дистанционного зондирования с использованием лазерных источников излучения. Методы лазерного зондирования обеспечивают получение профилей или полей параметров атмосферы с исключительно высоким временным и пространственным разрешением (см., например, [1-6]). Причем, в оптическом диапазоне из-за малости длин волн отражателями лазерного сигнала являются все молекулярные и аэрозольные составляющие атмосферы, т.е. сама атмосфера формирует лидарный эхо-сигнал со всей трассы зондирования.

Ветровые лидары предназначены для оперативного дистанционного анализа перемещений атмосферного аэрозоля, облачных образований и измерения скорости атмосферного ветра на основе результатов этого анализа.

Дистанционные лазерные методы измерения скорости ветра разделяются на доплеровские и корреляционные. Более простыми (и, соответственно, требующими менее дорогую аппаратуру) являются корреляционные методы [1,2]. Хотя корреляционные методы обеспечивают меньшую дальность зондирования (по сравнению с доплеровскими), они являются наиболее подходящими для ряда практических приложений. Корреляционный лидар может измерять полный вектор скорости ветра и проводить измерения пространственного распределения скорости и направления ветра при сложном профиле скорости ветра, например, в условиях горного рельефа местности без пространственного сканирования [3].

На сегодняшний день практически все существующие ветровые корреляционные лидары работают в видимом диапазоне. Однако для задачи измерения ветра интерес представляют и другие диапазоны, например, ультрафиолетовый (УФ) диапазон.

Практический интерес для лазерных систем локации и видения имеет ближняя УФ область 0.2-0.4 мкм. Этот интерес к ультрафиолетовой области спектра вызван резким уменьшением в УФ диапазоне фонового излучения (см. рисунок 1 [7]).

На рисунке 1 показана спектральная зависимость яркости безоблачного неба (создаваемая рассеянной в атмосфере солнечной радиацией) на уровне моря для зенитного угла Солнца 45 ^О при большой метеорологической дальности видимости (при большой прозрачности земной атмосферы).

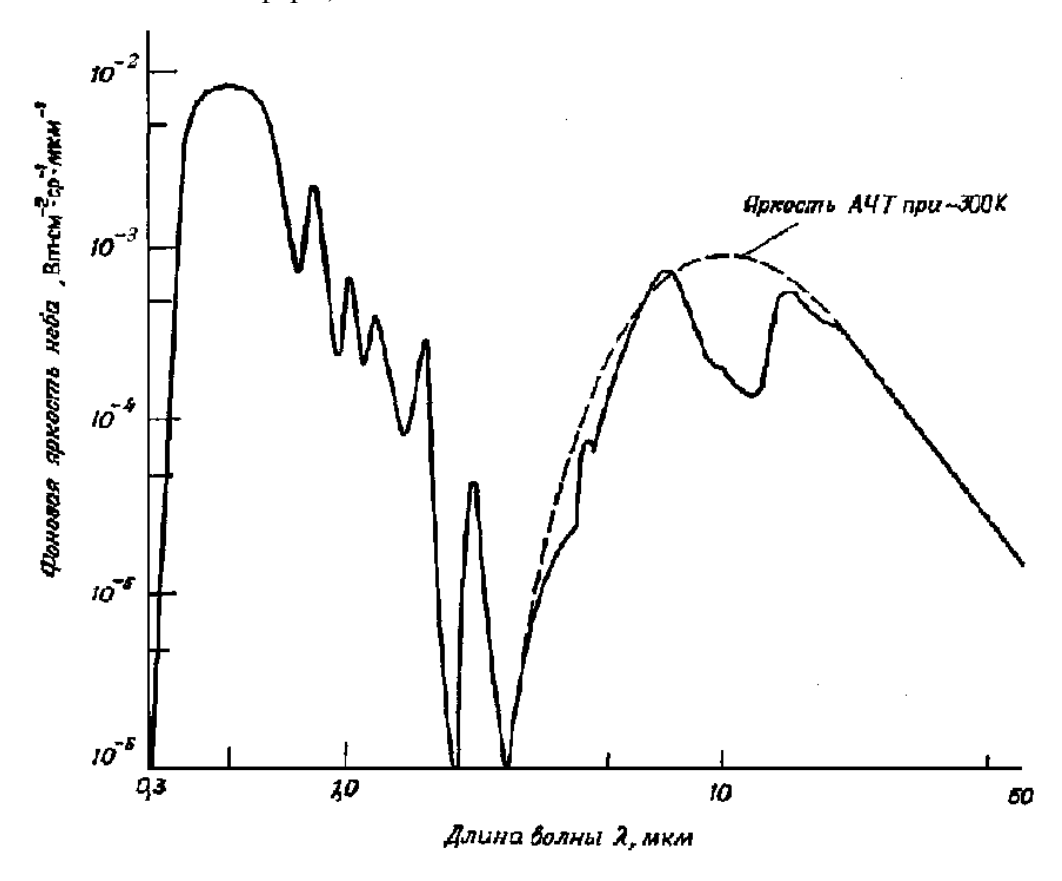


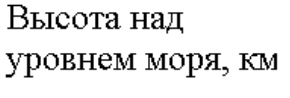
Рис. 1. Спектральная зависимость яркости безоблачного неба

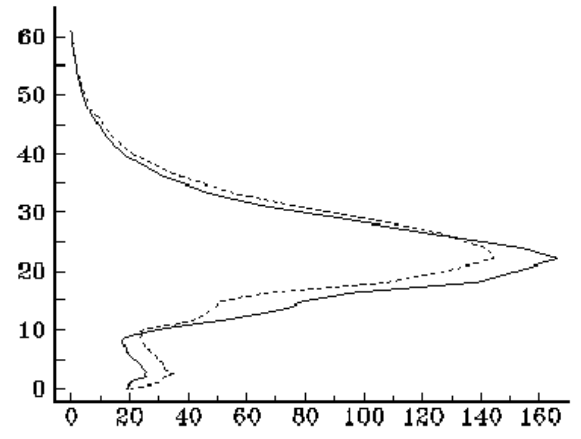
Из рисунка 1 видно, что в ультрафиолетовом диапазоне (на длинах волн близких к длине волны 0,3 мкм) яркость фонового излучения резко падает. Причиной этого является поглощение ультрафиолетового излучения озонным слоем Земли.

Однако, несмотря на сильное поглощение атмосферным озоном в ультрафиолетовой области спектра, эта спектральная область все же представляет интерес для лазерных систем локации и видения. Дело в том, что поглощение атмосферным

озоном ультрафиолетового излучения происходит в основном в верхних слоях земной атмосферы.

На рисунке 2 [8] показано распределение количества атмосферного озона с высотой над уровнем моря. Как видно из рисунка в тропосфере до высот ~ 10 км концентрация озона мала. В стратосфере же содержание его резко увеличивается, достигая пикового значения, а затем быстро уменьшается. Когда говорят об озонном слое, то обычно понимают область его максимальной концентрации (находящуюся в стратосфере).





Парциальное давление озона, мПа·10

Рис. 2. Высотное распределение атмосферного озона

Данная статья посвящена оценке дальности зондирования ветрового корреляционного лидара в приземном слое земной атмосферы в УФ спектральном диапазоне.

Постановка задачи

Дальность зондирования лидара можно оценить из условия равенства (для предельной дальности зондирования) мощности полезного лидарного сигнала (приходящего на приемник) и пороговой мощности приемника лидара.

Лазерные корреляционные методы основаны на регистрации мощности P(z) лазерного сигнала обратно рассеянного аэрозольными частицами, всегда присутствующими в земной атмосфере.

Мощность P(z) лазерного сигнала в прозрачной атмосфере определяется следующим выражением [1,2]

$$P(z) = P_{o}K_{c}K_{c}c\tau_{u}r_{c}^{2}\beta(z)\chi_{\pi}(z)T_{u}(z)G(z)/8z^{2},$$
(1)

гле

 P_{o} – мощность излучения лазерного источника;

 K_t , K_r – коэффициенты пропускания оптических систем передающего и приемного каналов лидара;

c - скорость света;

 au_u – длительность импульса лазерного источника;

 r_r – радиус приемного объектива;

z – расстояние от лидара до зондируемого объема атмосферы;

 $\chi_{\pi}(z)$ – индикатриса рассеяния атмосферы в направлении «назад»;

$$T_{\rm V}^{1/2}(z) = exp\left(-\int\limits_0^z \varepsilon(x)dx - \int\limits_0^z k(x)dx\right)$$
 - коэффициент пропускания атмосферы;

 $\beta(z)$ –объемный коэффициент аэрозольного рассеяния атмосферы;

 $\mathcal{E}(z)$ – показатель аэрозольного ослабления атмосферы;

k(z) – показатель поглощения атмосферными газами (озоном в УФ диапазоне);

G(z) – геометрическая функция лидара.

Для моностатической биаксиальной схемы зондирования функция G(L) имеет вид

$$G(z) = \frac{\alpha_r^2}{\alpha_r^2 + \alpha_t^2} \exp\{-\frac{b^2}{(\alpha_r^2 + \alpha_t^2)z^2}\};$$

b - расстояние между оптическими осями источника и приемника излучения (база);

 α_r , α_t - поле зрения приемной оптической системы и угол расходимости излучения источника.

Из формулы (1) видно, что анализ пространственных реализаций (зависимостей от z) мощности P(z) обратно рассеянного атмосферным аэрозолем лазерного сигнала позволяет определять характеристики пространственных флуктуаций поля объемного коэффициента аэрозольного рассеяния атмосферы $\beta(z)$, а значит и измерять перемещение этого поля (т.е. проводить измерение параметров ветра).

Прием лазерного сигнала, обратно рассеянного средой, в общем случае производится на фоне шумов, которые ограничивают потенциальные возможности лидара.

Суммарная мощность шумов приемника лидара определяется собственными шумами регистрирующей аппаратуры и дробовым шумом. В качестве фотодетектора для корреляционных лидаров в УФ и видимом диапазонах обычно выбирается фотоэлектронный умножитель (ФЭУ), т.к. он обладает большой чувствительностью и небольшими собственными шумами.

Пороговая мощность ФЭУ при наличии фонового излучения определяется формулой [9].

$$P_{nop} = \frac{\mu [2e(I_{t} + I_{b})(1+B)\Delta f]^{\frac{1}{2}}}{S_{k}},$$
 (2)

гле

 μ -отношение сигнал/шум;

 $e=1.6 \cdot 10^{-19} \, [\text{A} \cdot \text{c}]$ – заряд электрона;

*(1+B)≅*2.5;

 Δf – эффективная полоса частот фотоприемного устройства;

 S_k – спектральная чувствительность фотокатода ФЭУ;

 I_t — темновой ток фотокатода, т. к. в паспорте ФЭУ приведены значения темнового анодного тока I_{ta} , то значения I_t рассчитываются по формуле $I_t = \frac{I_{ta}}{M}$, где M — коэффициент усиления ФЭУ;

 $I_b\,$ - среднее значение тока, обусловленного солнечной засветкой.

Для приемника лидара с узким полем зрения и узкополосным спектральным фильтром выражение для I_b имеет вид [10]

$$I_b = K_r L_b S_r(\pi \alpha_r^2) S_k \Delta \lambda, \tag{3}$$

где

 ${\it L}_b$ - спектральная яркость фонового излучения;

 S_{r} - площадь приемного объектива;

 $\pi \alpha_r^2$ - телесный угол поля зрения приемной оптической системы;

 $\Delta\lambda$ - полоса пропускания спектрального фильтра.

Коэффициент пропускания оптической системы приемного канала определяется выражением $K_r = K_o K_f$, где K_o — коэффициент пропускания оптической системы без спектрального фильтра; K_f — коэффициент пропускания спектрального фильтра.

Основным источником фонового излучения в УФ и видимой областях спектра является солнечное излучение, рассеянное земной атмосферой. Расчет яркости солнечного излучения, рассеянного земной атмосферой, представляет собой сложную задачу [10].

При высокой прозрачности атмосферы ($\tau_o \le 0.2$) результаты, довольно близкие к реальным, могут быть получены в аналитическом виде для плоскопараллельной модели атмосферы в приближении однократного рассеяния. Выражение для яркости L_b фонового излучения, приходящего на приемник, зависит от геометрической схемы зондирования. В частном случае зондирования в горизонтальном направлении величина L_b равна [10]

$$L_b = 0.25\lambda_s S_{\lambda} \chi(\gamma) \frac{\cos \theta_o}{\cos \theta - \cos \theta_o} \left\{ \exp\left[-\frac{\tau_o - \tau}{\cos \theta}\right] - \exp\left[-\frac{\tau_o - \tau}{\cos \theta_o}\right] \right\} , \quad (4)$$

где

 $\cos \gamma = \cos \theta \cos \theta_o + \sin \theta \sin \theta_o \cos (\phi - \phi_o);$

 λ_S - отношение показателя рассеяния аэрозольной земной атмосферы к показателю ослабления:

 πS_{λ} - спектральная солнечная постоянная на длине волны λ ;

 τ_o , τ - оптическая толща всей земной атмосферы и оптическая толща земной атмосферы между подстилающей поверхностью и приемником (в вертикальном направлении);

 θ, ϕ - зенитный угол и азимут направления наблюдения;

 $\boldsymbol{\theta}_{o}$, $\boldsymbol{\varphi}_{o}=0\,$ - зенитный угол и азимут Солнца;

 $\chi(\gamma)$ - индикатриса рассеяния атмосферы;

у - угол рассеяния.

Ниже проводится оценка дальности зондирования ветрового корреляционного лидара, работающего на длинах волн $0,355\,\mathrm{mkm}$ (УФ диапазон) и $0,532\,\mathrm{mkm}$ (видимый диапазон).

Математическое моделирование

Априорная неочевидность результатов сравнительного анализа дальности зондирования ветрового корреляционного лидара в УФ и видимом спектральных диапазонах связана с тем, что параметры атмосферы (показатель аэрозольного ослабления, показатель поглощения озоном, оптическая толща земной атмосферы и другие), спектральная солнечная постоянная, а также характеристики лазеров и фотоэлектронных умножителей имеют существенную (и для разных параметров сильно различающуюся) зависимость от длины волны излучения.

Используемые в работе параметры лазерных источников, приемников излучения, оптические характеристики атмосферы (для приземной трассы) и фонового солнечного излучения приведены в табл. 1 [10-14].

Таблица 1 Характеристики лазеров, ФЭУ, атмосферы и фонового излучения

Длина волны, мкм	0,532	0,355
Энергия в импульсе, мДж	175	70
Длительность импульса, нс	5 - 7	5 - 7
Спектральная чувствительность, мА/Вт	80	70
Темновой ток, А	4 10 ⁻¹⁵	10^{-16}
Фоновый ток, А	$2,2\ 10^{-10}$	5,5 10 ⁻¹¹
Показатель аэрозольного рассеяния, M^{-1} .	4,1 10 ⁻⁴	6,79 10 ⁻⁴
Оптическая толща земной атмосферы, отн.ед.	0,405	0,9155
Спектральная солнечная постоянная, Bт/см ²	0,195	0,116
МКМ		

На рисунках 3,4 приведены полученные по формулам (1) - (4) зависимости мощности P(z) полезного сигнала и пороговой мощности $P_{ii\delta}$ от дальности зондирования z для лазерных длин волн 0,355 и 0,532 мкм.

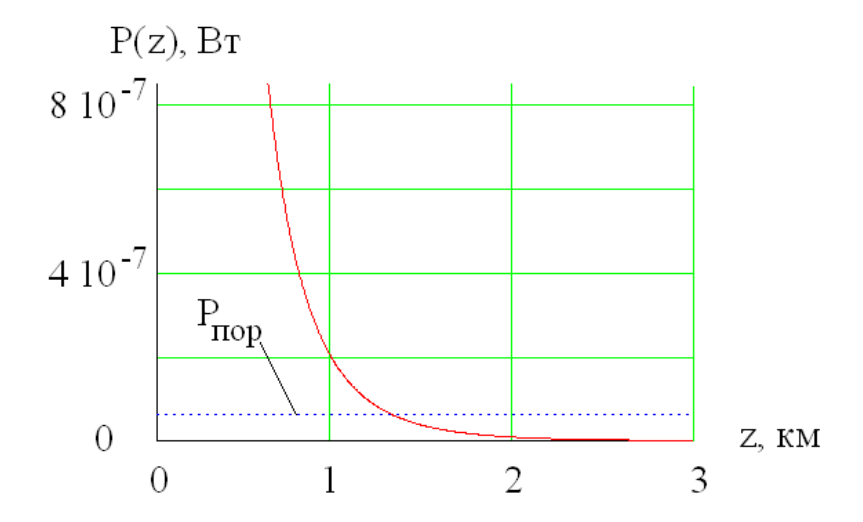


Рис. 3. Зависимость мощности полезного сигнала и пороговой мощности от дальности зондирования для длины волны 0,355 мкм

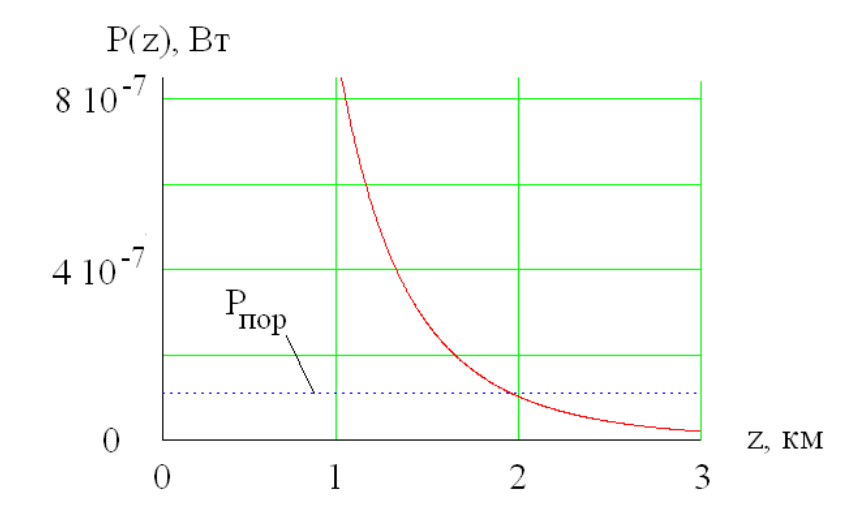


Рис. 4. Зависимость мощности полезного сигнала и пороговой мощности от дальности зондирования для длины волны 0,532 мкм

Расчеты проводились для горизонтальной трассы зондирования при метеорологической дальности видимости 10 км, безоблачной атмосфере и зенитном угле Солнца $45^{\,o}$. Угол расходимости излучения лидара и поле зрения приемной оптической системы полагались равными, соответственно, 1 мрад и 2 мрад, а коэффициенты пропускания передающей и приемной оптических систем – 0.8 и 0.28. Диаметр приемного объектива и ширина спектрального фильтра считались равными 0.2 м и 1 нм, а отношение

сигнал/шум – 30 (отношение сигнал/шум выбрано таким, чтобы регистрировать неоднородности поля объемного коэффициента аэрозольного рассеяния [1]).

При расчете по формуле (4) для УФ диапазона оптические толщи τ_o , τ состоят из суммы аэрозольной и молекулярной компонент и оптической толщи поглощения атмосферного озона, а индикатриса $\chi(\gamma)$ рассеяния атмосферы состоят из взвешенной суммы аэрозольной и молекулярной составляющих [8,13].

Предельные дальности зондирования, которые оценивались из условия равенства мощности P(z) полезного сигнала и пороговой мощности приемника $P_{\hat{u}\hat{o}}$, для длин волн 0,355 и 0,532 соответственно равны 1335 и 1955 м.

Таким образом, при переходе в УФ диапазон дальность зондирования заметно уменьшается (при выбранных для расчета параметров – в полтора раза). Это обусловлено тем, что при переходе в УФ диапазон увеличивается ослабление атмосферы (в основном из-за поглощения озоном, причем этот эффект сглаживается одновременным увеличением показателя аэрозольного рассеяния атмосферы и уменьшением фонового излучения), а также различием характеристик лазерных источников и приемников в видимом и ближний ИК диапазонах.

Заключение

Результаты расчетов показывают, что при переходе в УФ диапазон дальность зондирования ветрового лидара заметно уменьшается (при выбранных для расчета параметров – в полтора раза). Это обусловлено тем, что при переходе в УФ диапазон увеличивается ослабление атмосферы (в основном из-за поглощения озоном), а также различием характеристик лазерных источников и приемников в видимом и ближний ИК диапазонах.

Список литературы

- 1. Матвиенко Г.Г., Заде Г.О., Фердинандов Э.С., Колев И.Н., Аврамова Р.П.. Корреляционные методы лазерно-локационных измерений скорости ветра. Новосибирск: Наука, 1985. 223 с.
- 2. Орлов В.М., Матвиенко Г.Г., Самохвалов И.В., Юрга Н.И., Белов М.Л., Овчаренко А.Ф. Применение корреляционных методов в атмосферной оптике. Новосибирск: Наука, 1983. 160 с.
- 3. Козинцев В.И., Иванов С.Е., Белов М.Л., Городничев В.А. Корреляционный лазерный метод с адаптивным выбором измерительной базы для оперативного

- измерения скорости ветра // Оптика атмосферы и океана. 2012. Т. 25. № 2. С. 165-170.
- 4. Банах В.А., Брюер А., Пичугина Е.Л., Смалихо И.Н. Измерения скорости и направления ветра когерентным доплеровским лидаром в условиях слабого эхосигнала // Оптика атмосферы и океана. 2010. Т. 23. № 5. С. 333-340.
- Матвиенко Г.Г., Банах В.А., Бобровников С.М., Бурлаков В.Д., Веретенников В.В., Кауль Б.В., Креков Г.М., Маричев В.Н. Развитие технологий лазерного зондирования атмосферы // Оптика атмосферы и океана. 2009. Т. 22. № 10. С. 915-924.
- 6. Савин А.В., Коняев М.А. Доплеровские метеолидары для систем обеспечения вихревой безопасности полетов // Метеоспектр. 2008. № 1. С. 147-152.
- 7. Межерис Р. Лазерное дистанционное зондирование. М.: Мир, 1987. 550 с.
- 8. Поглощение света атмосферным азотом. Режим доступа: http://www.astronet.ru/db/msg/1169494/node29.html (дата обращения 20.03.2014).
- 9. Оптико-электронные системы экологического мониторинга природной среды / В.И. Козинцев, В.М. Орлов, М.Л. Белов, В.А. Городничев, Б.В.Стрелков. М.: Изд-во МГТУ, 2002. Издание 2-е дополненное. 528 с.
- 10. Основы импульсной лазерной локации / В.И. Козинцев, М.Л. Белов, В.М. Орлов, В.А. Городничев, Б.В.Стрелков. М.: Изд-во МГТУ, 2010. Издание 2-е дополненное. 572 с.
- 11. Compact high energy, high frecuency pulsed Nd:YAG lasers. Режим доступа: http://www.litronlasers.com/pdf%20files/LitronNanoTRL_0105_2.pdf (дата обращения 20.12.2013)
- 12. DQ-1570-50/30 Nd:YAG laser datasheet. Режим доступа: http://www.oem-tech.by/pdf/dq-1570-ds-en.pdf (дата обращения 20.12.2013).
- 13. http://jp.hamamatsu.com/resources/products/.
- 14. Козинцев В.И., Белов М.Л., Городничев В.А., Стрелков Б.В. Расчет яркости фона и ослабления лазерного излучения в ультрафиолетовой области спектра. М.: Изд-во МГТУ им. Н.Э. Баумана, 2011. 66 с.